

# 上海市电机工程学会论文选集

1962

上海市电机工程学会 编

上海科学技术出版社

1962  
上海市电机工程学会論文选集

上海市电机工程学会 編

上海科学技术出版社

## 內容 摘 要

本書是从 1962 年上海市电机工程学会年会宣讀的 124 篇論文中評選的較优秀論文中的一部分，各篇論文都針對近年来上海市电机工业的一些生产实际問題，也反映了上海市电机工程界近年来科研的極概。适合电机工程技术人员参考。

1962

## 上海市电机工程学会論文选集

上海市电机工程学会 编

---

上海科学技术出版社出版 (上海瑞金二路 450 号)  
上海市书刊出版业营业許可证出 093 号

---

上海市印刷三厂印刷 新华书店上海发行所发行

---

开本 787×1092 1/16 印张 9 8/16 拼版字数 179,000  
1963 年 12 月第 1 版 1963 年 12 月第 1 次印刷  
印数 1—3,500

统一书号 15119·1769 定价 (十四) 1.35 元

# 高压电动机采用粉云母带絕緣的研究

上海电机厂 許惠麟

高压电动机一般都采用云母带連續絕緣，但由于大片云母的資源稀少，价格昂贵，影响电机工业的发展。本文針對这个关键，进行了粉云母带在高压电动机上的应用試驗，通过了电气性能、机械强度、热老化性能的試驗和实际运行的經驗证明，采用片云母带与粉云母带的混合結構，具有优良的性能及緩和云母供应不足的紧张局面，并降低电机的成本。

## 1. 引 言

云母是电机工业中的主要絕緣材料，它具有优良的电气性能、耐热性能和机械强度，由于大面积云母的資源稀少，剝成薄片要耗費大量的手工劳动，使云母成为价格昂贵、数量稀少的絕緣材料，在电机工业生产上一直是一个薄弱环节。最近十几年以来，工业比較发达的国家都在积极研究云母的代用品。主要在塑料、粉云母和合成云母三方面进行工作。到目前为止，氟素塑料的耐电暈性能和硅橡胶的长期耐热性能还都不如云母，合成云母則由于成本太高，不能大量采用，而粉云母則具有云母的基本性能，而且利用云母廢料进行化学处理后，在专用的造紙机上进行机械化生产，制成为成卷的粉云母紙，价格非常便宜，几乎成为云母的主要代用品。許多国家小自低压小型电机，大至高压巨型的汽輪发电机，都大量采用粉云母制品作为主要的絕緣材料。

上海电机厂選擇了需用云母制品較多的高压电动机进行了粉云母带的应用試驗。綫圈是真空浸胶連續式絕緣，电压等級是 6 千伏，綫圈具有优良的耐潮性能和电气性能。这种絕緣结构自 1930 年以来世界各国都普遍采用，在高压电动机方面已取得了較好的运行經驗，在这个基础上，以綢底补强的粉云母带代替了部分片云母带。通过材料性能的分析，絕緣的工艺試驗，綫圈成品的电气和机械强度試驗，热老化比較試驗和电机采用部分粉云母带絕緣后的运行情况調查，证明了采用粉云母带与片云母带混合絕緣的性能是能保证电机长时期的安全运行；此外，对玻璃布补强的粉云母带也进行試驗，亦证明了有較好的电气性能。

## 2. 試驗結果

(一)瀝青綢底粉云母帶、玻璃底粉云母帶与片云母帶的各种性能比較 粉云母帶的厚度均匀、平均击穿电压强度較高，性能見表 1。

表 1

項 目	单 位	綢底片云母帶			綢底粉云母帶			玻璃底粉云母帶		
		平均值	最大值	最小值	平均值	最大值	最小值	平均值	最大值	最小值
厚 度	毫 米	0.128	0.14	0.121	0.117	0.13	0.11	0.142	0.148	0.135
揮发物含量	%	11.1	—	—	20.5	20.88	20.3	9.15	—	—
含 胶 量	%	24	24.7	23.4	22.7	23.9	20.8	27.2	—	—
补强材料含量	%	17.9	18.7	16.4	27.5	29.1	26.4	31.1	—	—
表面质量	良	好	略	有分层	略	有分层	略	有分层	略	有分层
抗 張 强 度	公斤/毫米 <sup>2</sup>	2.84	2.5	2.2	1.971	—	—	7.95	9.95	5.84
云 母 含 量	%	58.2	60.2	57	49.8	50.1	49.7	41.7	—	—
击穿电場强度	千伏/毫米	23.5	28.1	20	27.1	36.3	18.7	33.2	35.6	26.2

綢底片云母帶系一面甲級紡綢和一面云母帶紙補強，以油改性瀝青漆粘合，綢底粉云母帶僅將云母片改成粉云母紙，玻璃底粉云母帶系一面無鹼玻璃布和一面云母帶紙補強以油改性瀝青漆粘合。粉云母帶厚度均匀的主要原因是粉云母紙的厚度均匀，制成云母帶时不象片云母帶那样要采用 1/3 面積的鱗片狀貼片方法。由于厚度均匀的原因，使粉云母帶的平均击穿电压强度亦高于同厚度的片云母帶的击穿电压强度。通过厚度的測定，綢底粉云母帶有 71% 的測定值在 0.115~0.12 毫米範圍內，而綢底片云母帶則仅有 42% 在 0.13~0.135 毫米範圍內。

(二)絕緣結構与絕緣工艺 6 千伏高压电动机采用 0.13 綢底片云母帶絕緣槽部半疊包八层，端部半疊包七层，槽內单面的絕緣厚度为 2.9 毫米。粉云母帶在絕緣层中的分布是在槽部五层，端部四层，線圈的外面二层和最里面一层均采用片云母帶。这种絕緣結構的选择是考慮到粉云母帶的机械强度較差，使片云母帶起一定的机械保护作用，而使粉云母帶則承受大部分电气强度。粉云母帶在絕緣工艺方面与一般片云母帶絕緣工艺沒有显著的区别，仅在包扎粉云母帶时注意勿使粉云母帶受到机械损伤。

(三)線圈击穿电压的比較 采用粉云母帶絕緣后，線圈与全部片云母帶絕緣的線圈下線前和下線后再从槽中取出，进行工頻击穿試驗，其平均击穿电压都处于相近的水平。数值見表 2 和表 3。

表 2 线圈直线部分击穿电压(千伏)

绝缘种类	下线前				下线时未经翻线的线圈				下线时经过翻线的线圈			
	样品数量	平均值	最大值	最小值	样品数量	平均值	最大值	最小值	样品数量	平均值	最大值	最小值
绸底片云母带包八层的线圈	20	55.88	68	40	14	57.2	68	43	6	57	64	42
绸底粉、片云母带混包八层的线圈	46	53.07	65	37	26	52.3	72	32	13	48.3	61	29
玻璃底粉、片云母带混包七层的线圈	6	59.1	60	58	—	—	—	—	—	—	—	—

表 3 线圈弯角部分的击穿电压(千伏)

绝缘种类	下线时未经翻线的线圈			下线时经过翻线的线圈		
	平均值	最大值	最小值	平均值	最大值	最小值
绸底粉、片云母带混包八层的线圈	48.3	57	25	49.8	62	22
绸底片云母带包八层的线圈	48.5	63	15	47.5	63	20

(四)介质损耗角正切的比較 介质损耗角正切是評定絕緣质量的主要指标，在各种不同的电压下測定介质损耗角，从絕對值和損耗角正切的增量，可以区别絕緣层有无空隙，浸胶工艺是否正常，数值見表 4。

表 4 介质损耗角正切与电压的关系

绝缘种类	tgδ (室温)			Δtgδ
	$\frac{1}{2}U_H$	$U_H$	$1\frac{1}{2}U_H$	
绸底片云母带包八层的线圈	4.2%	4.3%	4.5%	0.3%
绸底粉云母带混包八层的线圈	3.5%	3.7%	4.1%	0.6%
玻璃底粉、片云母带混包八层的线圈	2.6%	2.8%	3.1%	0.5%
大电机研究所規定的一等品线圈指标(参数)	—	小于 4%	—	小于 1%
4000~6000 千瓦发电机线圈指标(参数)	—	小于 12%	—	小于 4%

注：表中的各种絕緣的介质损耗角正切都达到指标。

(五)热击穿試驗 在溫度为 105°C 和 3.5 倍額定电压 (21 千伏) 进行长期耐压試驗，以評定线圈的耐电弧、耐电暈和长时耐电压的性能。試驗結果是：

紙底片云母带絕緣

50 小时以上 (苏联全苏电工研究院試驗数据)

绸底粉、片云母带混合絕緣

124 小时 26 分

由于粉云母带的組織均匀，加热后不易松脹，热状态的线圈的耐电压性能有所改善。

(六)热老化的比較試驗 为了证明粉、片云母带混合絕緣的耐热性能，按国际电工协会所推荐的热老化試驗方法，在 180°C 进行周期性的热老化試驗，其中还包括振

动、受潮和耐压試驗等項目。試驗結果是綢底片云母帶絕緣的平均热老化寿命是 374 小时，綢底粉、片云母帶混合絕緣的平均热老化寿命是 345 小时，两者热老化試驗的数值是相接近。从原材料組成来看，粉云母与片云母的云母含量都在 40~50% 左右，粘合剂和补强材料均相同，如果制造工艺上能保证质量，两种絕緣結構的寿命應該相接近的。

(七)电动机連續多次启动試驗 为了考驗粉、片云母帶混合絕緣綫圈的机械强度是否能滿足使用的要求，除了通过下綫后的耐压檢查外，电机在启动时使綫圈各部分受到了复杂的电动应力。为此，选择了一台綫圈截面小、剛性差、端部长和启动时受到应力較大的 290 千瓦 2 极电动机，在額定电压 (6 千伏) 直接启动了 1000 次，并定期进行 10 千伏的耐压試驗，以檢查絕緣有无损坏。經過了 1000 次的直接启动試驗后，异相綫圈有較大的变形，但是絕緣仍旧完好；通过工頻 10 千伏一分钟的耐压試驗，最后将綫圈在槽內进行击穿試驗，仍保持着較高的击穿水平，证明它具有足够的机械强度。数值見表 5。

表 5

項 目	平均击穿电压 (千伏)	最高击穿电压 (千伏)	最低击穿电压 (千伏)
粉、片云母帶混合包綫圈	36	45.5	27.5
片云母帶包的綫圈	37.7	45	32

上述各項試驗都是粉、片云母帶混合絕緣的方式，是否有可能全部采用粉云母帶或者采用紙底补强的粉云母帶，在这方面也进行了試驗工作。上海电机厂曾采用全部紙底补强的粉云母帶試制 6 千伏高压綫圈，結果是綫圈压型后 90% 通不过 21 千伏的耐压試驗，由于粉云母紙的組織受到机械应力的破坏，同时也进行了全部用綢底补强的粉云母帶試制 6 千伏的綫圈，虽然耐压水平比紙底补强的粉云母帶有所提高，有 91% 的綫圈通过 21 千伏的耐压試驗，但是下綫时仍有击穿現象，因而亦未能采用。这证明了混合絕緣具有較好的机械和电气性能，綢底粉、片云母帶混合絕緣虽然通过了上述的各种試驗，在成批生产时质量能否保证，是生产实践的一个关键問題。上海电机厂在 1959 年开始进行小批的投入生产，剛开始时，綫圈成品合格率(工頻耐压 21 千伏)为 97.5%，随着絕緣包扎、綫圈成型和真空浸胶质量的提高，綫圈合格率逐步提高；1960 年初，綫圈合格率提高到 99.3%，至 1962 年合格率提高到 99.5% 左右，下綫后的合格率也一直保持在 98% 以上。

(八)电动机实际运行的情况 通过生产的实践证明，这种絕緣結構是能符合生产厂的质量要求，但是运行后是否会产生产其他质量事故呢？因此，在 1962 年 3 月在上海地区訪問了上海第三鋼铁厂、上海楊树浦水厂和閔行发电厂，对 6 千伏电动机的运

行情况进一步了解，调查了 100~1000 千瓦的感应电动机共有 50 台。其中粉、片云母混合绝缘的电动机约占 30 台，都运转了一年至二年的时间，其中绝大部分绝缘良好，仅有一台在进行了预防性耐压检查时主绝缘击穿，损坏原因尚未查明，说明这种绝缘结构是可靠的。

### 3. 結 語

采用粉云母制品作为高压电动机的主绝缘是今后电机绝缘的一个主要方向。本试验采用油改性沥青作粘合胶，目前有不少国家在研究以聚酯或环氧树脂作粘合胶，并取得很优越的成绩。结合我国的具体情况，选用玻璃底补强的粉云母带以环氧或聚酯树脂粘合和浸渍仍然是有很多优点，值得我们研究的。采用现有的结构具有很大经济意义，因为粉云母带的价格仅为片云母带价格的 34%，因此，可以使电动机成本下降 4% 左右，同时亦缓和了云母供应的紧张局面。

### 參 考 文 獻

- [1] An Advanced Concept for Tubor Generator Stator Winding Insulation. A. I. E. E. Transactions, 1958, pt. III, p.358.
- [2] Справочник по Электротехническим Материалам. том 1, часть вторая, 1959.
- [3] Micadur, A New Insulation for the Stator Windings of Electrical Machines. B. B. C. Review, vol. 47, № 5/6, 1960.
- [4] Изоляция Электрических Машин. том 1 и 2, НИИ Эл, 1958.
- [5] 改进粉云母带质量的經驗介紹. 电机工业, 1959, 第 12 期.
- [6] 粉云母绝缘材料. 电工技术, 1958, 第 12 期.
- [7] 粉云母带的电气绝缘性能. 电工文摘, 1960, 第四期.

# 使用电磁模拟設計超高压变压器防雷結構

上海电机厂 赵志清

电磁模拟能够相当准确地模拟超高压变压器繞組中的波过程，对变压器絕緣结构的設計有很大帮助。事实上，它是一种用費少、收效好的設計工具，对于发展超高压巨型变压器的絕緣结构具有重大的意义。

本文首先簡單地綜述研究变压器繞組波过程的几种方法与模拟，以及电磁模拟的准确度；继之，介紹制作 30,000 千伏安、220 千伏变压器电磁模拟的情况，以掌握这一方法的参数選擇、模拟与原型的实測比較、分析誤差的原因；然后介紹 330 千伏巨型超高压自耦变压器防雷結構成功地使用电磁模拟进行設計的情况，对模拟与原型的实測进行初步的分析；最后提出一些存在的問題与改进的意見。

## 1. 引 言

超高压电力变压器的設計中，絕緣結構的設計甚为重要，而絕緣結構的选择在很大程度上决定于冲击电压作用时在繞組上的电压分布，預先知道設計中的变压器繞組上的冲击电压分布，对于該变压器在保证足够的絕緣水平的情况下，节省絕緣和金属材料、減輕重量、降低成本等具有重大的意义。

要預先知道繞組上的冲击电压分布，一般有两种方法：一种是計算方法，另一种是模拟試驗法。过去波过程的理論很少可能应用來設計一个变压器，尤其是繞組结构复杂的超高压电力变压器，近年来由于电子計算技术的迅速发展，已經有可能利用电子計算机来計算变压器的冲击电压分布<sup>[1]</sup>。这肯定是一个方向。另一方面，模拟試驗法也是解决这一問題的一个好办法。通过理論分析与实际測量证明，采用模拟試驗法經濟实用，同时可以保证必要的准确度。

模拟試驗法有三种类型：（一）几何模拟（或称物理模拟）；（二）电磁模拟（或称复式模拟）；（三）長時間标度模拟。我們采用的是电磁模拟。現在簡述三者的特点与实用价值。

### 一、几何模拟(物理模拟)

几何模拟是应用在尺寸上按比例缩小的模拟变压器，来研究其波过程保持几何模拟与原型上电磁过程相似条件为<sup>[3,4]</sup>

$$\mu\gamma l^2 = t \quad (1)$$

及  $\mu\varepsilon l^2 = t^2 \quad (2)$

式中， $l$ 、 $t$ 、 $\mu$  及  $\varepsilon$  分别为长度、时间、磁导系数、电导系数及介电常数的比例尺（即模拟与原型中相应的量之比）。

通常总是使用与原型同样的材料来制造模拟，即  $\mu = \gamma = \varepsilon = 1$ ，由此得到  $l = t = 1$ ，也就是说，只有在模拟与原型同样大小的情况下，才能保持相似，可是，这样也就失去了模拟的意义。

如果不要求模拟与原型中波过程的衰减完全相似，也就是不考虑电导系数的比例尺寸，这在一定程度下是可以允许的。这样，根据式(2)，可得到相似条件为  $l = t$ ，即几何模拟上的时间比例尺等于长度比例尺。我们当然希望模拟做得较小，即采用较小的长度比例尺，这时，时间比例尺也随着缩小。因此，在试验时就必须采用很陡的冲击波，这将给测量技术带来很大困难，与测量引线引起很大的误差，并且按严格的比例尺来制作很小的模拟，工艺上也是非常困难的。由于这种几何模拟有这样的缺点，实际上一般都不采用，而采用以下两种方法之一。

### 二、电磁模拟

电磁模拟是在变压器的几何模拟(绕组自感与互感系统)上面并联上一组电容链(绕组各部按比例放大倍数的电容系统)，这样，就相当于使比例尺  $\varepsilon > 1$ ，就有可能使时间比例尺接近于1或比1更大，从而克服了测量上的困难，提高了准确度，满足了式(2)相似条件。

在电磁模拟中，波的衰减还是难于满足相似条件的<sup>[3]</sup>。但实际测量时，只要求测定振荡电压的第一个峰值，而振荡电压在这时一般还不致有显著的衰减，因此，利用电磁模拟来研究冲击电压分布，是可以保证必要的准确度的。

我们采用的正是这种模拟。关于采用电磁模拟方法的研究工作情况，在下节中再作较详细的介绍。

### 三、长时间标度模拟<sup>[5]</sup>

时间比例尺选择在 30~1050，长度比例尺选择为 1/15~1/2，同时采用具有较小内阻的多次作用的脉冲发生器(每秒 10 次)，可产生约 10 伏直角脉冲电压，这种低压有利于仪器的工作。由于模拟瞬变过程的时间非常长，所产生的频率较低，因此，通

接線的电感与电容对测量所引起誤差較小, 繞組上各測量点接头与轉換开关相連, 可迅速記錄繞組各点的脉冲現象。这样, 利用各接点电压曲綫的位移, 可以获得空間电压曲綫的示波图(即对地电压是時間和繞組起点距离的函数), 也可以获得最大对地电位与繞組占总匝数百分率的示波图(即最大对地电位包綫), 以及起始电压分布的示波图。

如采用两只轉換开关, 同时在測量接点間移动时, 則可摄取接点的最大电压梯度。

这种长时间标度模拟的优点, 是所摄取的电压可放大到 200 倍而无失真現象。此外, 除了减小测量困难与誤差外, 在进行測量时要比在制成的变压器上直接測量快 20~30 倍。

这类型的模拟, 国內还没有正式采用。

#### 四、电磁模拟的准确度

文献 [6] 中引用了华格納 (Wagner) 式圓筒式綫圈的等值电路分析, 經過数学推导, 最后得到如下的結論:

当元件数为一定时,  $\frac{K}{Cl^2}$  愈大, 愈能正确地符合于实物。这里,  $K$ ——单位长度內的匝間电容,  $C$ ——单位长度內的对地电容,  $l$ ——繞組的軸向长度。

根据理論, 模拟瞬变过程振幅的可能偏差为 10%。当  $\frac{K}{Cl^2} = \frac{1}{100}$  时, 具有接地端和絕緣端繞組的必要元件數約为 10 个。当  $\frac{K}{Cl^2} = \frac{1}{10}$  时約为 3 个。

本文的两台电磁模拟, 經比較原型与模拟的波分布測量数据, 其振幅的誤差分別为: 对地电位 6.29% 及 7.95%, 梯度电压 7.88% 及 26%。一般地說, 可以滿足工程設計中的要求。

#### 2. ОДТГ 30,000/220 变压器电磁模拟

为了掌握电磁模拟方法, 并檢驗模拟的准确度, 1959 年在广西大学、西安交通大学、上海交通大学的协作下, 制成了 ОДТГ 30,000/220 三綫圈变压器的电磁模拟。在模拟上进行了測量試驗, 并与在原型上的測量結果相比較, 說明模拟是成功的, 其准确度超过了国外同类型的模拟装置。下面将簡單介紹制作中考慮的問題以及測量試驗結果。

## 一、ОДТГ 30,000/220 电磁模拟比例尺(表 1 )

表 1

名 称	比 例 尺 符 号	所 采 用 比 例 尺
长 度	$l$	1/5
时 间	$t$	$1/\sqrt{2} = 0.707$
匝 数	$N$	1/2
磁 导 系 数	$\mu$	1
电 感	$L = lN^2$	1/20
电 容	$C = t^2/lN^2$	10
电 抗	$X = lN^2/t$	0.0707

在选择比例尺时，作如下的考虑：

(一) 长度比例尺及匝数比例尺 采用小的长度比例尺可以节省制作模拟所需材料，但过小时，则波的衰减比较严重，而且制作的材料与工艺也较困难。我们根据所得到的最小截面的扁铜线，并采用匝数比例尺为 1/2，才决定长度比例尺为 1/5，这样，所用材料重量将为原型的 1/125。

(二) 电容比例尺及时间比例尺 在选择电容比例尺时，考虑到：第一，所选择电容比例尺能使时间比例尺保持在 1 左右；第二，电容比例尺为 10，这时电容链上最小的电容(高压线饼对油箱)达 100 微微法以上，这样，引线的影响很小。这时，时间比例尺等于 0.707。

(三) 其他比例尺 由于铁心的非线性，对冲击量测引起的误差是很小的<sup>[4]</sup>。因此，在电磁模拟中没有必要保持电压与电流比例尺。在文献[3]推导得到交流电阻的比例尺  $R_w = N^2 n / \sqrt{t}$  以及衰减率的比例尺  $\delta = R_w / X = n \sqrt{t} / l$ ，式中， $n$  为垂直于主漏磁场方向的绕组层数，在我们的模拟中， $n = N = 1/2$ ，因此， $R_w = 0.149$ ； $\delta = 2.11$ 。

## 二、模型变压器及电容板

(一) 模型变压器部分 主要控制了以下几个主要尺寸的相似：

(1) 各个绕组的内外径、绕组压缩后高度，以及各线盘轴线的相对位置保持相似；低压绕组则只考虑其平均直径的相似，至于各线盘高度及油道宽度，则不要求完全相似。

(2) 铁心的平均直径、窗口高度及宽度保持相似，至于铁心的级数、铁轭截面形状都不要相似。

原型变压器包括两个柱，模拟上的绕组只做了一个柱的铁心则与原型一样，铁心

所用的硅钢片与原型所用的一样。

(二) 电容板部分 电磁模拟电容板的组成及接线如图 1 所示。

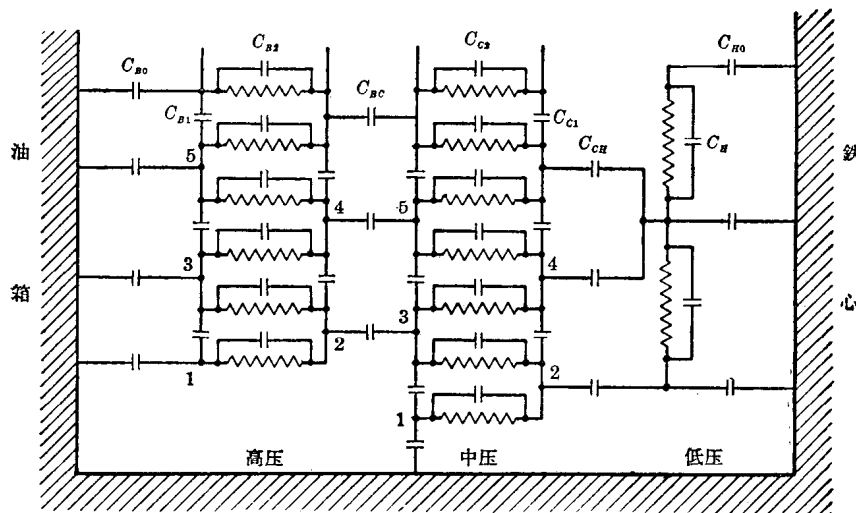


图 1 ОДТГ 30,000/220 电磁模拟电容链连接示意图

电容值主要由计算决定, 图上电容所代表的意义及决定的方法如下:

(1)  $C_{B1}, C_{C1}$ —高压、中压线盘电容, 把相邻的两个线盘看作一个平板电容器的电极进行计算, 所得结果乘以  $1/3$ 。

(2)  $C_{B2}, C_{C2}$ —反映高压及中压线盘匝间电容, 计得平均匝间电容后, 除以  $(n-1)$  即得。 $n$  为线盘总匝数, 电容跨接在每一线盘的两端。

(3)  $C_{BC}, C_{CH}$ —高、中压绕组间及中、低压绕组间电容, 按照同轴圆筒电容器的公式计算, 把相邻两油道中心线间距离当作线盘的高度, 并把各绕组油道中心线作为纵坐标, 绘出各绕组线盘的相对位置图, 在图中找出各绕组间相对的线盘, 计算其电容。

(4)  $C_{B0}, C_{H0}$ —高压对地(油箱)及低压对地(铁心)电容, 计算法和上项相似, 先须计算高压绕组对油箱的平均距离, 决定等值圆筒油箱的半径。

(5)  $C_H$ —低压匝间电容, 低压绕组为单螺旋式, 电容的计算和(1)项相似, 但不乘以  $1/3$ 。

在计算电容时, 是根据器身浸在油中的情况, 考虑了电极间的不同绝缘材料(油、线匝及线盘外包绝缘、纸圈、纸筒、垫块等), 分别计算出各部分电容的等值介电常数, 然后进行电容计算。

为了检验上述计算方法的准确程度, 曾在电解槽上组织了一些试验, 初步得到下述结果:

(1) 高压对地电容, 曾分别测量及比较单个线盘对地电容, 几个线盘对地电容以

及用整块电极代表几个线盘所得电容。說明上述計算中把相邻油道中心綫距离当作线盘高度的做法是正确的，不会引起显著的誤差。

(2) 高压线盘間电容由于边缘效应，将使电容值較不考虑边缘效应时计算的数值为大。在电解槽上比較測量結果，证明在所有各种不同的高压线盘距离下，由于边缘效应使电容增大的数值都在 5% 左右(由于測量时电容已配好，因此这项誤差未进行修正)。

(3) 由于繞組两端附近接地部分(如压圈)和下铁轭的影响，将使电場分布不对称，增大了端部附近线盘对地电容。在电解槽上測量結果，說明由这原因引起的誤差，只在端部附近的 4 个跨越(例如图 1 高压繞組的接头 1、3、5、7)的对地电容需要修正，其余部分的誤差都很小。

應該指出，这几个线盘都是位于中点附近，在中点接地的正常試驗条件下，这些电容的誤差对波过程的影响将是很小的。

由上可得結論，模拟上的电容鏈完全可以依靠計算来决定，其中个别不規則的电容，可以利用简单的模拟方法(例如在一个簡化的电解槽上测定)或其他方法进行修正，而且这样做还可以避免由电解槽本身所引起的誤差。例如电解槽本身的水平、水深、电极尺寸及距离、电极表面电阻等，都是可能引起誤差的原因。又如各线盘間由于絕緣情况不同，而有不同的等值  $\varepsilon$ ，在制造电解槽时，也很难正确模拟。

由上面方法求得变压器各部分的电容值后，乘以电容比例尺，就得到模拟电容板上的电容值。

电容板上的电容采用一般电信用的紙质电容器，每組电容都經過測量，其誤差控制在  $\pm 5\%$  以内。

装配完成后的电磁模拟見图 2。

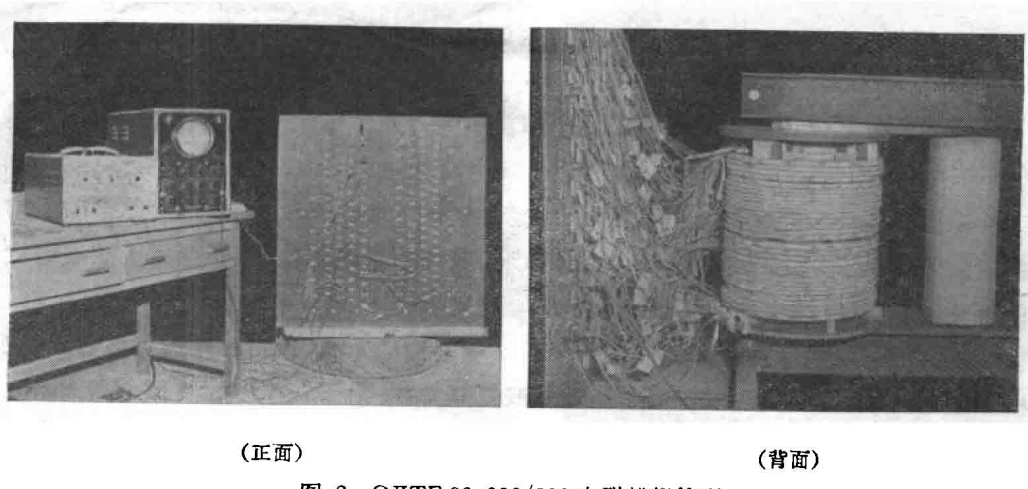


图 2 ОДТГ 30,000/220 电磁模拟外型

### 三、电磁模拟及原型上测量结果的比较

为了检查模拟的准确度，在模拟上进行测量并与在原型上的测量结果相比较，现将部分结果介绍如下：

(一) 起始电位分布 曲线见图3。由图中可看出，模拟上的起始分布曲线较低于原型上的，这是合理的，因为前者所模拟的是变压器处在油箱中在油中的情况，而后的测量则在空气中进行的(没有油和油箱)，前者比后者，其对地电容的增加将比线圈间电容的增加来得大。因此，使 $\alpha$ 增加，起始分布曲线变坏。

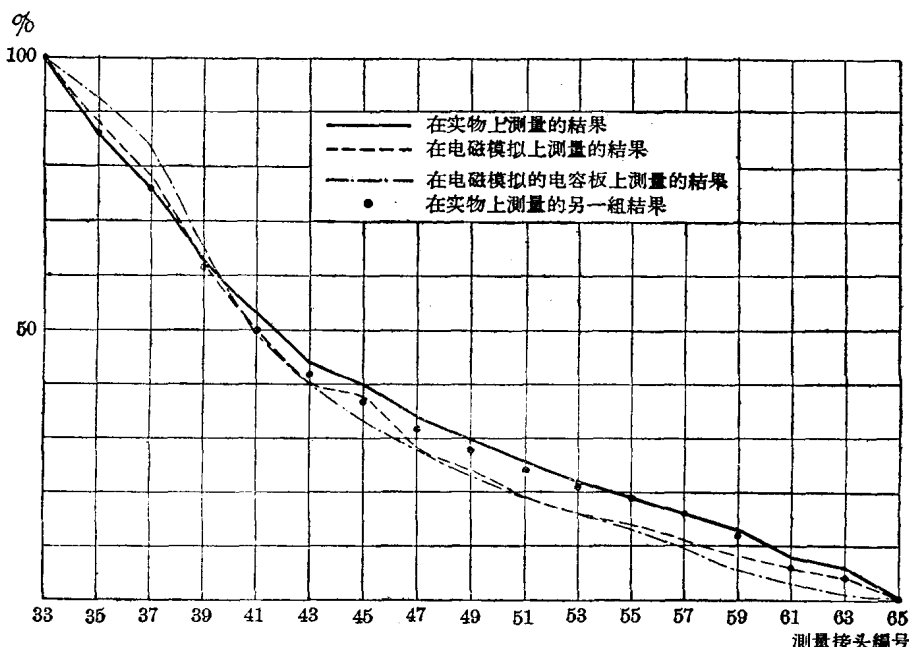


图 3 OTG 30,000/220 的起始电位分布

(二) 对地电位 曲线见图4a及b。曲线后半部显示由于模拟上起始分布较坏(反映在油箱内情况)，因此，振荡电压的振幅比原型稍高。

根据在两种接线情况下，测量60点上对地电位的结果计算，模拟对原型的平均绝对误差(对进波幅值的百分数)为2.59%，平均相对误差(相对于原型上该点电位的百分数)为6.29%。

图5是在原型上及模拟上摄得的绕组对地电位的示波图。由示波图可以看出，在模拟上的波形衰减得较快，特别是高次谐波更是如此，由于在原型的波形上高次谐波衰减得较慢，不容易由示波图中决定基波的衰减率，因此无法对前面所得到的衰减率比例尺进行校核。

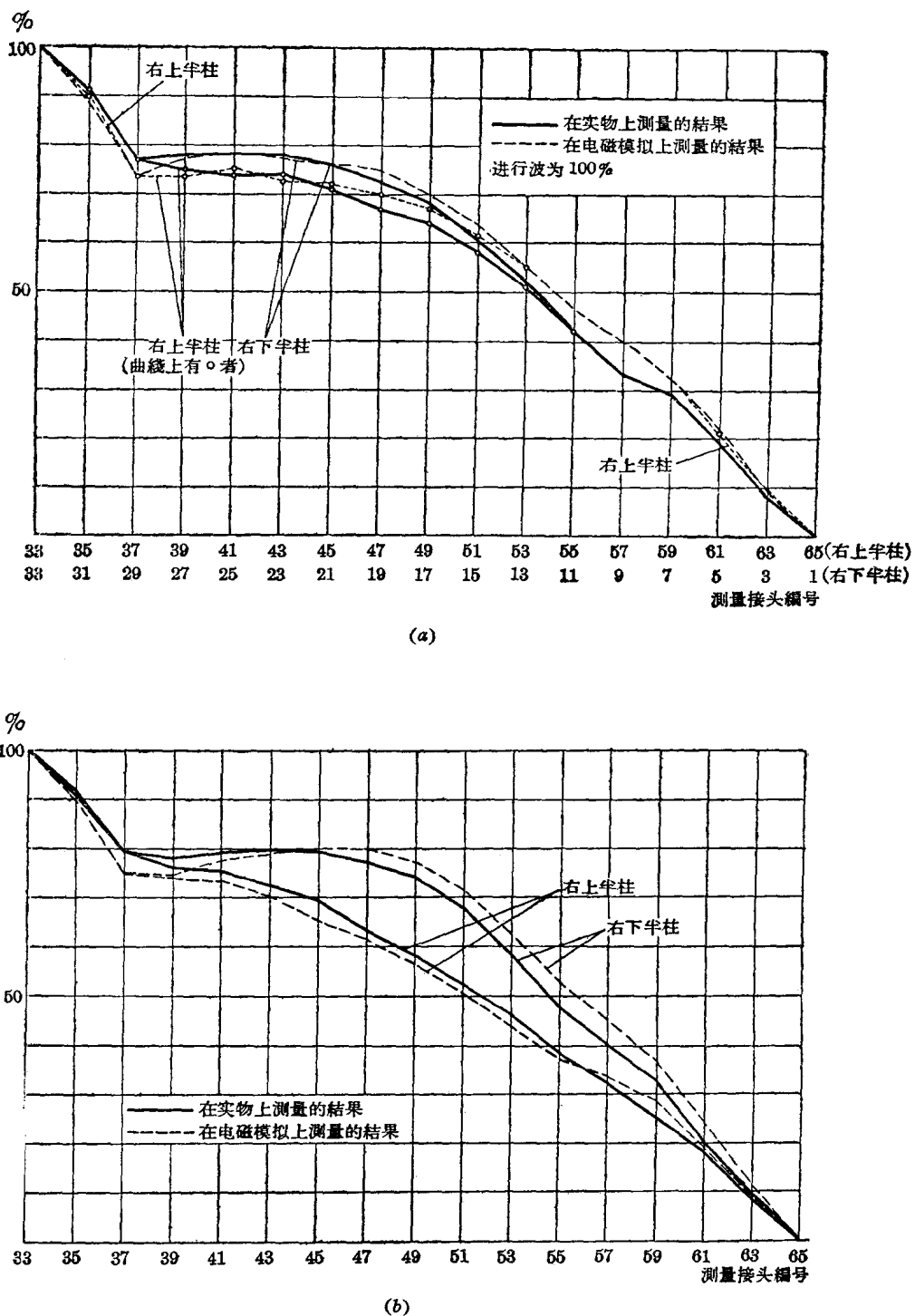


图 4 ОДТГ 30,000/220 的最大对地电位

(a) 上下分接头接通, 有保护; (b) 上下分接头不接通时。

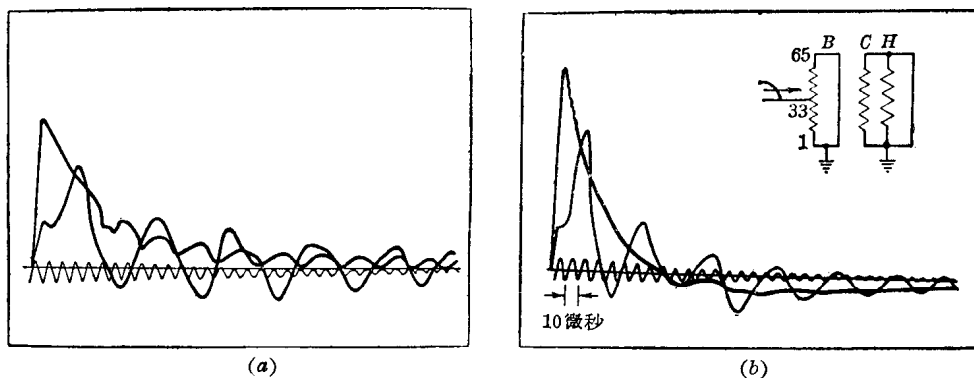


图 5 原型及模拟上的对地电位示波图 B17—0, (右下半柱繞組)

(a) 原型进波 1.5/40 微秒; (b) 模拟进波 1/28 微秒。

在原型繞組上振蕩基波周期約為 65 微秒, 而在模拟上約為 45 微秒, 与所用時間比例尺相符合。

(三)梯度电压 图 6a 及 b 給出一組梯度电压曲綫, 模型上的梯度电压分布与原型基本相似, 在首端第 3 油道差別較大, 可能由于靜電圈对線盤电容的模拟尙未能很准确(原来的电容值是根据电解槽上的測量决定的, 后来发现有某些誤差, 但未及修正)。

根据曲綫的对比, 沒有发现由于变压器处在油箱中而使梯度显著增大的現象。

根据在两种接綫情况下測量 60 点的結果比較, 得到模拟与原型上梯度电压的平均絕對誤差(相对于进波)为 0.78%, 相对誤差(相对于原型上梯度电压)为 7.88%。

图 7 是原型及模拟上两个梯度电压示波图的对比。

图 8 及图 9 是两台原型与同一台电磁模拟的对地电位示波图。

下面将本厂ОДТГ 30,000/220 电磁模拟与美国 G. E. 公司<sup>[2]</sup>及瑞士 B. B. C. 公司<sup>[3]</sup>的模拟的誤差在表 2 进行比較。

表 2

电 压	平 均 绝 对 誤 差 (对进波电压的%)			平 均 相 对 誤 差 (相对于原型上各該点电压的%)		
	美国 GE	瑞士 BBC	本 厂	美国 GE	瑞士 BBC	本 厂
对 地 电 位	6.3	—	2.59	7.3	—	6.29
梯 度 电 压	2.4	2.7	0.78	11	10	7.88

由此可見, 我們的电磁模拟的誤差要比美国、瑞士的模拟誤差小一些, 特別是絕對誤差更是如此。順便可以指出, 我們現在所做模拟的对象(三綫圈变压器)比文献[3]中所介紹的模拟要复杂得多, 后者所模拟的变压器只有两个繞組, 其中一个繞組还是以金属屏蔽来代替的。